

可視化法による開水路流れの観察

京都大学工学部 正員 中川博次
 京都大学工学部 正員 稲津家久
 鹿島建設 正員 大柴薰

1. まえがき 開水路流れの特性に関しては、これまで点計測によつてかなりの成果が上げられてきたが、一般に、点計測によつて流れの全域を瞬時に把握することは困難であり、このような場合には可視化法が有効となる。本報告では、定量的な解析も可能である水素気泡法によつて開水路流れの乱れの発生機構を観察した結果を述べる。

2. 実験方法 実験は、長さ 8.5 m, 幅 29 cm の滑面開水路において、水深 6 cm で 5 種類の Re 数 (1390, 1890, 2800, 4710, 7650) について行ない、前回¹⁾と同様の方法で解析した。

3. 実験結果 図-1 は対数則を仮定して、摩擦速度 u_* を求めた一例である。図-2 はこの u_* を使った乱れ強さの分布であり、従来の点計測結果と同程度とは云ふが、若干大きめであつて読み取誤差の影響が現われている。白金線を水路底に水平に、流れ方向に垂直に設置して流れを観察したところ、壁面近傍ではよく知られてゐる低速縞 (low-speed streak) の存在が確認され、その間隔は Re 数が大きくなるにつれて狭くなり、壁面から遠ざかるにつれて広くなる。また低速縞相互の合体が観察され、その結果入射角 $\alpha^+ = u_* \sin \alpha / U_* \approx 100$ 程度の値を常に保とうとする性質が壁面近傍には存在するようである。

図-3 ~ 6 は、Re 数が 4710 の場合の各の確率分布の数例であり、これはサンプル数、 \bar{x}^+ は平均値である。 $y^+ = 4.1$ や 9.9 では $\bar{x}^+ \approx 100$ あたりに分布が集中しているが、 $y^+ = 25.6$ や 59.6 では、ちらばりが大きくなつてゐる。この事実は他のケースでも観察され、粒状底層端付近には比較的規則正しい coherent な運動が存在していると推測される。また、これららの分布を $\log(\bar{x}^+ / \bar{x})$ で正規確率紙にプロットした結果、ほぼ直線となり、これを正規化して図-7 に示した。図中の直線は \bar{x}^+ に関する次式の対数正規確率密度関数子 (σ^+) である。

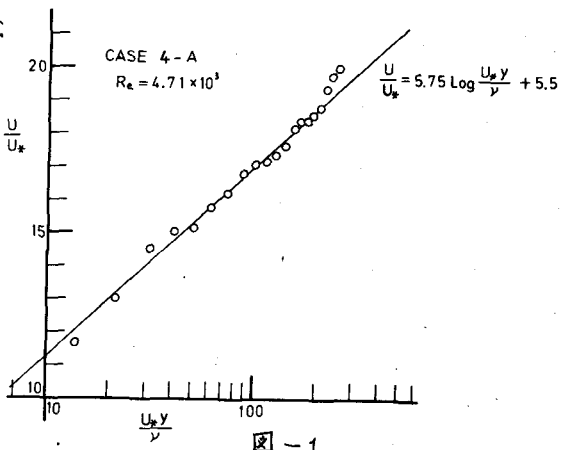


図-1

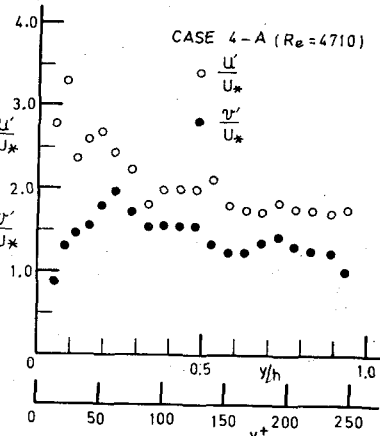
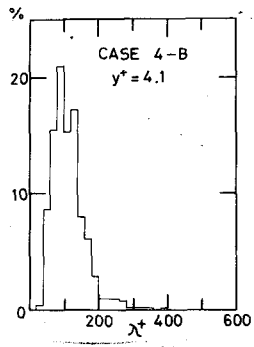
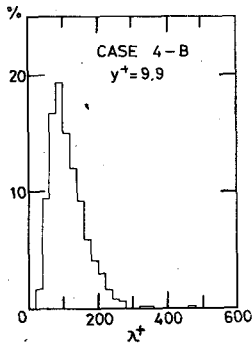
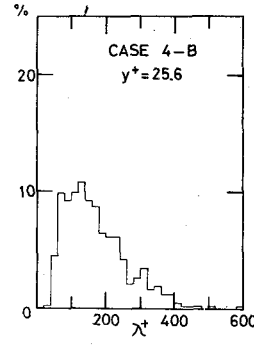
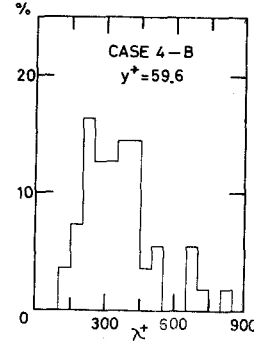


図-2

図-3 $n=522$, $\bar{\lambda}^+=114$ 図-4 $n=640$, $\bar{\lambda}^+=114$ 図-5 $n=425$, $\bar{\lambda}^+=172$ 図-6 $n=55$, $\bar{\lambda}^+=358$

$$f(\lambda^+) = \frac{log e}{\sqrt{2\pi}\sigma_0 \lambda^+} \exp\left\{-\frac{1}{2}\sigma_0^{-2} (\log(\lambda^+/\lambda_0^+))^2\right\} \quad (1)$$

ここで $\log \lambda_0^+ = \overline{\log \lambda^+} = \frac{1}{n} \sum_{i=1}^n \log \lambda_i^+$ (λ_i^+ は図-3~6の各区分の中央値)

$$\sigma_0 = \sqrt{\frac{1}{n} \sum_{i=1}^n \log(\lambda_i^+/\lambda_0^+)^2}$$

実験値と式(1)は非常に良好な一致を示し、また他のケースでも同様の結果が得られた。したがって、 λ^+ はほぼ対数正規分布をすると結論づけてよい。図-8は5種類のRe数について、 λ^+ と $y^+ = u^+y/\nu$ を図示したものである。粘性底層端附近では、Re数による差異は顕著でなく、従来からの値入 ≈ 100 と一致する。しかし各ケース共に、 y^+ の増加に従って λ^+ は増加し、また同じ y^+ で Re数の大きい方が λ^+ も大きくなる傾向が見られ、自由水面上で観察される縦縞間隔との関連性が示唆される。最後に白金線を水路底に垂直に設置し、高速度 16mm/s メラで撮影された画像から bursting 周期を次のように決定した。最大凹凸の time line から次の最大凹凸が生じるまでのコマ数を数えて bursting の周期 T_b とした。図-9は λ^+ と同様に T_b の対数正規化表示であり、実測値は Hazen プロットしているが両者の一致性は良好である。

4. 結語 bursting 現象

象の縦縞間隔 λ^+ 及びその周期 T_b は共に対数正規分布するものと考えられ、本来、不規則な乱流運動にも何らかの組織的特性が存在すると示唆され、今後さらに実験された可視化観察によってこれらの発生機構を解明して行きたい。参考文献 1) 中川ら: 関西支部年講 1996, II-31

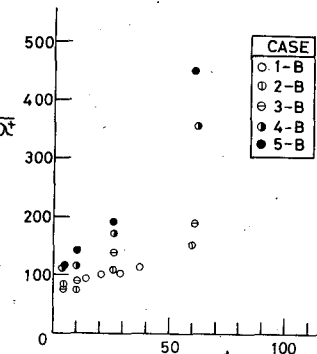


図-8

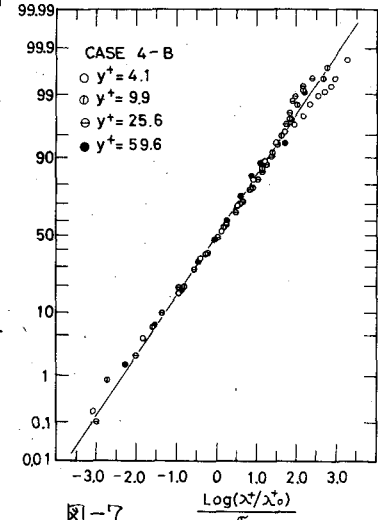


図-7

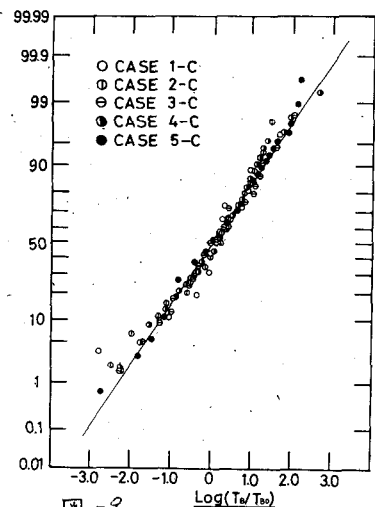


図-9